

中国科技核心期刊

中国学术期刊综合评价数据库来源期刊

《中文生物医学期刊文献数据库》收录期刊

中国科技论文统计源期刊

中国核心期刊数据库》收录期刊

《中国生物医学期刊引文数据库》收录期刊

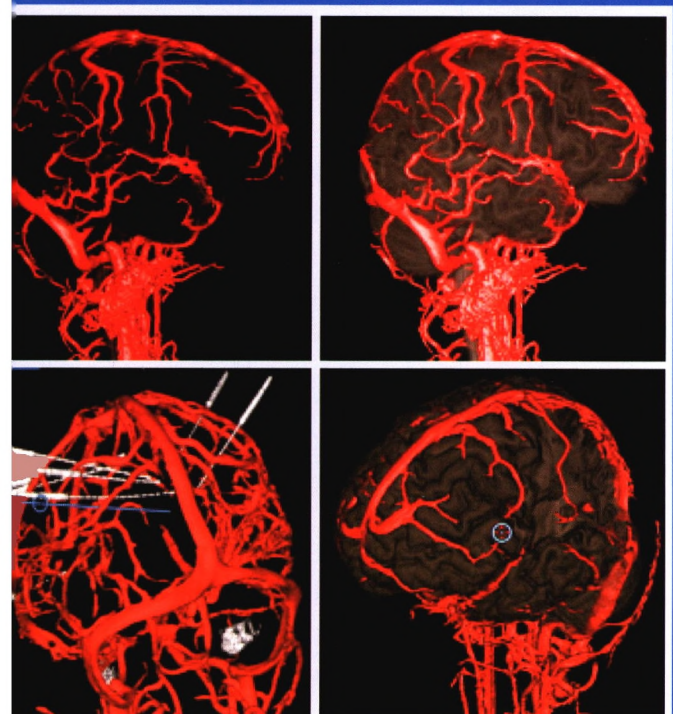
ISS

Q K1910048
C1910048/1A

中国CT和MRI杂志

ZHONGGUO CT HE MRI ZA ZHI

CHINESE JOURNAL OF CT AND MRI



- 7 颅内脂肪瘤SWI序列信号改变特点探讨
- 10 术前MRI在评估不同质地垂体瘤中的应用
- 13 CE-MRV融合颅脑三维成像在儿童难治性癫痫.....
- 23 低电压、低碘对比剂剂量应用于头颈CTA患者.....
- 26 能谱CT参数在诊断鉴别甲状腺良恶性病变中的应用
- 29 MSCT在埋伏牙定位诊断中的应用
- 32 93例支气管肺发育不良的影像学诊断分析
- 35 儿童原发塑型性支气管炎的临床及影像学分析
- 42 MSCT诊断非结核分枝杆菌肺病的临床价值
- 45 能谱CT对肺内占位良恶性鉴别及诊断价值
- 56 CTA对T2DM合并冠心病患者冠脉狭窄的诊断价值
- 68 MSCT与超声心动图在急诊疑似主动脉夹层患者.....



ISSN 1672-5131



万方数据

CHINESE JOURNAL OF CT AND MRI
APR 2019 VOL.17 第四期
总第一百一十四期

主 管

中华人民共和国教育部

主 办北京大学深圳临床医学院
518036, 深圳市福田区莲花路1120号

北京大学第一医院

协 办中华医学学会放射学分会磁共振学组
中国人民解放军南京军区福州总医院
深圳市医信文化投资有限公司
马鞍山市会慧医院
马鞍山市会慧影像诊断中心**编 辑**中国CT和MRI杂志编辑委员会
518048, 深圳市福田区福华一路国际商会大厦B座2103室**名誉总编辑**

王 宁 韩金祥

总编辑

王成林

副总编辑李坤成 滕皋军 贾文霄 卢光明
田 捷 王毅翔 程敬亮 王霄英
陈 芸 刘 刚 陈自谦**社 长**

王成林

出 版中国CT和MRI杂志社
518048, 深圳市福田区福华一路国际商会大厦B座2103室
电话: (0755) 83695203; 83695204; 13510331556
传真: (0755) 83695203
E-mail: ctMRI@vip.163.com**广告代理**深圳医信文化投资有限公司
518048, 深圳市福田区福华一路国际商会大厦B座2103室
电话: (0755) 83695203; 83695204; 13510331556
传真: (0755) 83695203**广告经营许可证**

440300200009

印 刷

深圳市裕华昌印刷有限公司

发 行国内: 深圳报刊发行局
国外: 中国国际图书贸易总公司
(北京399信箱, 100044) 代号C8175**发行范围**

国内外发行

订 购全国各地邮电局
邮发代号: 46-276**邮 购**中国CT和MRI杂志社出版发行部
518048, 深圳市福田区福华一路国际商会大厦B座2103室
电话: (0755) 83695203; 83695204; 15989229294
传真: (0755) 83695203
E-mail: ctMRI@vip.163.com**定 价**

每期20元, 全年240元

国内统一连续出版物号

ISSN 1672-5131

CN 44-1592/R

版权中国CT和MRI杂志社所有除非特别声明, 本刊刊出的所有文章不代表中国CT和MRI杂志社和本刊编委会的观点
本刊如有印装质量问题, 请向中国CT和MRI杂志社出版发行部调换

论 著

- 动态增强磁共振成像与扩散张量成像在胶质瘤分级中的临床价值* 张治业, 徐文中, 王占伟 (1)
- 脑胶质瘤在MRI动态增强扫描中的图像表现特征及临床应用价值分析* 朱季子, 谭占国, 段勇刚等 (4)
- 颅内脂肪瘤SWI序列信号改变特点探讨 赵延通, 刘秀颖, 韩旭等 (7)
- 术前MRI在评估不同质地垂体瘤中的应用 黄琦, 张劲梅 (10)
- CB-MRV融合颅脑三维成像在儿童难治性癫痫外科中的应用 向葵, 刘龙平, 朱凤军等 (13)
- 维持性血液透析伴认知功能障碍患者脑MRI影像学特点分析 鲁冰, 任东升 (16)
- 低场强MRI对新生儿缺氧缺血性脑病诊断及其与多层螺旋CT对比分析* 崔法新, 王青霞, 胥彬等 (19)
- 低电压、低碘对比剂剂量应用于头颈CTA患者的临床研究 王良东 (23)
- 能谱CT参数在诊断鉴别甲状腺良性病变中的应用 程远 (26)
- MSCT在埋伏牙定位诊断中的应用 裴蓉, 马鹏涛, 师歌等 (29)
- 93例支气管肺发育不良的影像学诊断分析 智月丽 (32)
- 儿童原发塑型性支气管炎的临床及影像学分析 朱彩华, 孙文武, 屈会霞 (35)
- 小儿急性白血病化疗后肺部感染的临床特点、影像学表现及干预分析 刘斌, 赵西西 (38)
- MSCT诊断非结核分枝杆菌肺病的临床价值* 郑全胜, 王晨璟, 魏霜等 (42)
- 能谱CT对肺内占位良恶性鉴别及诊断价值 姚鹏鹏, 李润涛 (45)
- 不同年龄层次疑似肺癌患者行低剂量CT扫描的筛查结果分析 谭于飞 (48)
- CTA与心电图在诊断隐匿性冠心病患者中的应用比较 杨琴 (52)
- CTA对T2DM合并冠心病患者冠脉狭窄的诊断价值 程燕妮, 杨建华, 付兵 (56)
- 多层螺旋CT与超声心动图诊断房颤患者左心耳血栓的临床价值比较 段利科, 张周龙 (59)
- 运动平板试验及动态心电图、CTA在诊断冠心病中的应用研究* 张菊花 (62)
- 飞利浦Brilliance iCT对冠状动脉支架再狭窄的评估及其在随访中的应用价值 梁文娇, 武辽军, 高文治等 (65)
- MSCT与超声心动图在急诊疑似主动脉夹层患者中的应用 任陇滨 (68)
- MRI与钼靶X线对乳腺癌术前瘤体体积及病理分型的评估价值 韩明利, 吕鹏威, 杨雪等 (72)
- 多普勒彩超与MRI联合常规肿瘤标志物检测在诊断乳腺癌中的应用比较* 杨莲, 曾庆朗, 徐晓飞 (75)

责任编辑 王成林 英文编辑 刘龙平 谢婷婷 责任排版 林典芸 责任校对 邓丽娜

乳腺癌原发灶 ¹⁸ F-FDG PET-CT代谢参数与患者临床病理特征的关系研究	牛增志 (79)
38例磨玻璃结节肺腺癌患者CT征象特点分析	赵冲 (83)
螺旋CT灌注成像与超声超微细血流成像在评估肝癌介入术后活性病灶血供中的应用比较	刘洋, 寻航, 李修奎等 (86)
术前MRI T2WI及MRCP诊断胆总管结石的临床价值*	杨文义, 武利萍, 闫春等 (89)
MRI和CDUS定位及定性诊断胆道结石的临床价值对比	陈昆 (92)
超声与多层螺旋CT在诊断胰腺实质性假乳头状瘤中的应用	张怡, 张芳, 梅文娟等 (95)
MRI提升经直肠超声前列腺活检穿刺阳性率的临床价值	贾红星, 黄涛涛, 牛志宏等 (98)
¹⁸ F-FDG PET/CT显像联合血清CA19-9对宫颈癌复发及转移的诊断价值分析	张双凤, 薛秀珍, 杨会莉 (102)
MSCT增强扫描与超声造影对膀胱癌术前分期的诊断价值	高白, 姚胜银, 王端华等 (105)
MSCT与MRI技术在鉴别结直肠癌术前T、N分期的诊断价值*	刘华, 边芳, 翟冬枝 (109)
腹部增强CT扫描在诊断结肠肿瘤性肠梗阻患者中的应用	马廷午 (112)
MRI平扫结合体素内不相干运动(IVIM)成像在食管胃结合部腺癌术前T分期及病理分化程度的诊断价值*	刘圆圆, 史大鹏, 窦社伟等 (115)
急性肠系膜缺血27例的临床特点及影像学表现分析	张洪卫 (120)
造影CT三维成像在肛瘘术前诊治中的应用	袁泉良 (123)
腹腔非霍奇金淋巴瘤患者MSCT表现分析	张军强 (126)
MRA与CTA在诊断腹部内脏动脉瘤中的应用	林志军 (130)
经腹壁超声与多层螺旋CT对女性盆腔囊性病变诊断及鉴别诊断价值探讨*	贾苒, 靳雪梅 (134)
多层螺旋CT及容积再现后处理成像技术在诊断腰椎压缩性骨折中的价值分析*	马利锋, 王之平, 冷永新 (137)
大关节局限型良性滑膜瘤10例影像特征并文献复习*	赵振江, 崔建岭, 孙英彩等 (140)
强直性脊柱炎骶髂关节病变患者CT影像学表现及其与病理特征的关系*	邓昆, 朱安之, 杨蕾等 (144)
MSCT结合血清PCT水平指导COPD急性发作期患者抗菌药物应用的临床价值	王帅 (147)
不同影像学方法在淋巴瘤分期诊断中的应用	王根杰 田颖 (150)

CONTENTS

APR 2019 Volume 17 Fourth Issue Total Number 114

Responsible Institution

Ministry of Education, the People's Republic of China

Sponsor

Peking University Shenzhen Clinic Medical College
First Medical College of Peking University

Co-organizers

Magnetic Resonance Studies Group of Chinese Medical Association
Radiology Branch
Fuzhou General Hospital Of Nanjing Military Command
Shenzhen Yixin Culture Investment Co.,Ltd.
Maanshan Huihui Hospital
Maanshan Huihui Imaging Diagnostic Center

Editing

Editorial Department of Chinese Journal of CT and MRI
2103 International Chamber of Commerce Building Block B,
Fuhua Rd, Futian Dis., Shenzhen, 518048

Honorary Chief Editor

Wang Ning(王宁) Han Jinxiang(韩金祥)

Editor-in-chief

Wang Chenglin (王成林)

Deputy Editor-in-chief

Li Kuncheng (李坤成) Teng Gaojun (滕皋军)
Jia Wenxiao (贾文霄) Lu Guangming(卢光明)
Tian JIE(田捷) Wang Yixiang(王毅翔)
Cheng Jingliang(程敬亮) Wang Xiaoying(王霄英)
Liu Gang(刘刚) Chen Zi-qian(陈自谦)

President

Wang Chenglin (王成林)

Publishing

Editorial Department of Chinese Journal of CT and MRI
2103 International Chamber of Commerce Building Block B,
Fuhua Rd, Futian Dis., Shenzhen, 518048
Tel:(0755)83695203; 83695204; 13510331556
Fax:(0755)83695203
E-mail:ctmri@vip.163.com

Printing

Yu Hua Chang Printing Co., Ltd, Shenzhen

Overseas Distributor

China International Book Trading Corporation
P.O.Box399, Beijing, China Code No.C8175

Mail-Order

Publishing & Circulation Section, Publishing House,
Editorial Department of Chinese Journal of CT and MRI
2103 International Chamber of Commerce Building Block B,
Fuhua Rd, Futian Dis., Shenzhen, 518048
Tel:(0755)83695203; 83695204; 13510331556
Fax:(0755)83695203
E-mail:ctmri@vip.163.com

CSSN

ISSN 1672-5131
CN 44-1592/R

Copyright 2013 by the Editorial Department of Chinese Journal of CT and MRI

All articles published represent the opinions of the authors, do not reflect the official policy of the Editorial Department of Chinese Journal of CT and MRI or the Editorial Board, unless this is clearly specified

Tips

Articles for Magnetic Resonance Studies Group of Radiological Society of China's professional journals

Original Research

- 1 Clinical Value of Dynamic Contrast-Enhanced Magnetic Resonance Imaging and Diffusion Tensor Imaging in Glioma Grading*
ZHANG Zhi-ye, XU Wen-zhong, WANG Zhan-wei.
- 4 The Imaging Features and Clinical Application Value of Glioma in Dynamic Enhanced MRI Scan*
ZHU Ji-zi, TAN Zhan-guo, DUAN Yong-gang, et al.
- 7 Analysis of SWI Appearance Characteristics of Intracranial Lipoma
ZHAO Yan-tong, LIU Xiu-ying, HAN Xu, et al.
- 10 Application of Preoperative MRI in the Evaluation of Different Textures of Pituitary Tumors
HUANG Qi, ZHANG Jing-mei.
- 13 Application of CE-MRV and Cranial Brain 3D MRI in Refractory Epilepsy Surgery in Children
XIANG Kui, LIU Long-ping, ZHU Feng-jun, et al.
- 16 Analysis of Brain MRI Imaging Features in Patients with Maintenance Hemodialysis and Cognitive Dysfunction
LU Bing, REN Dong-sheng.
- 19 Low Field MRI in the Diagnosis of Neonatal Hypoxic Ischemic Encephalopathy and Its Comparison with Multi-slice Spiral CT*
CUI Fa-xin, WANG Qing-xia, XU Bin, et al.
- 23 Dose of Low-voltage and Low-iodine Contrast Agents in Head and Neck CTA
WANG Liang-dong.
- 26 Application of Energy Spectrum CT Parameters in Differential Diagnosis of Benign and Malignant Thyroid Lesions
CHENG Yuan.
- 29 Application of MSCT in the Localization Diagnosis of Embedded Teeth
PEI Rong, MA Peng-tao, SHI Ge, et al.
- 32 Imaging Diagnosis of 93 Cases of Bronchopulmonary Dysplasia
ZHI Yue-li.
- 35 Clinical and Imaging Analysis of Primary Plastic Bronchitis in Children
ZHU Cai-hua, SUN Wen-wu, QU Hui-xia.
- 38 Clinical Features, Imaging Findings and Intervention Analysis of Pulmonary Infection in Children with Acute Leukemia after Chemotherapy
LIU Bin, ZHAO Xi-xi.
- 42 Clinical Value of MSCT in Diagnosis of Nontuberculous Mycobacteria Lung Disease*
ZHENG Quan-sheng, WANG Sheng-jing, WEI Shuang, et al.
- 45 Identification and Diagnostic Value of Energy Spectrum CT for Benign and Malignant Pulmonary Lesions
YAO Peng-peng, LI Run-tao.
- 48 Screening Results of Low-dose CT Scan in Patients with Suspected Lung Cancer at Different Age Levels
TAN Yu-fei.
- 52 Comparison of Application of CTA and Electrocardiogram in the Diagnosis of Patients with Latent Coronary Heart Disease
YANG Qin.
- 56 Diagnostic Value of CTA in Coronary Stenosis in Patients with T2DM Complicated with Coronary Heart Disease
CHENG Yan-ni, YANG Jian-hua, FU Bing.
- 59 Clinical Value of Multi-slice Spiral CT and Echocardiography in the Diagnosis of Left Atrial Appendage Thrombosis in Patients with Atrial Fibrillation
DUAN Li-ke, ZHANG Zhou-long.
- 62 Application of Treadmill Exercise Test, Dynamic Electrocardiogram and CTA in Diagnosis of Coronary Heart Disease*
ZHANG Ju-hua.

能谱CT对肺内占位良恶性鉴别及诊断价值

(图片正文见第45页)

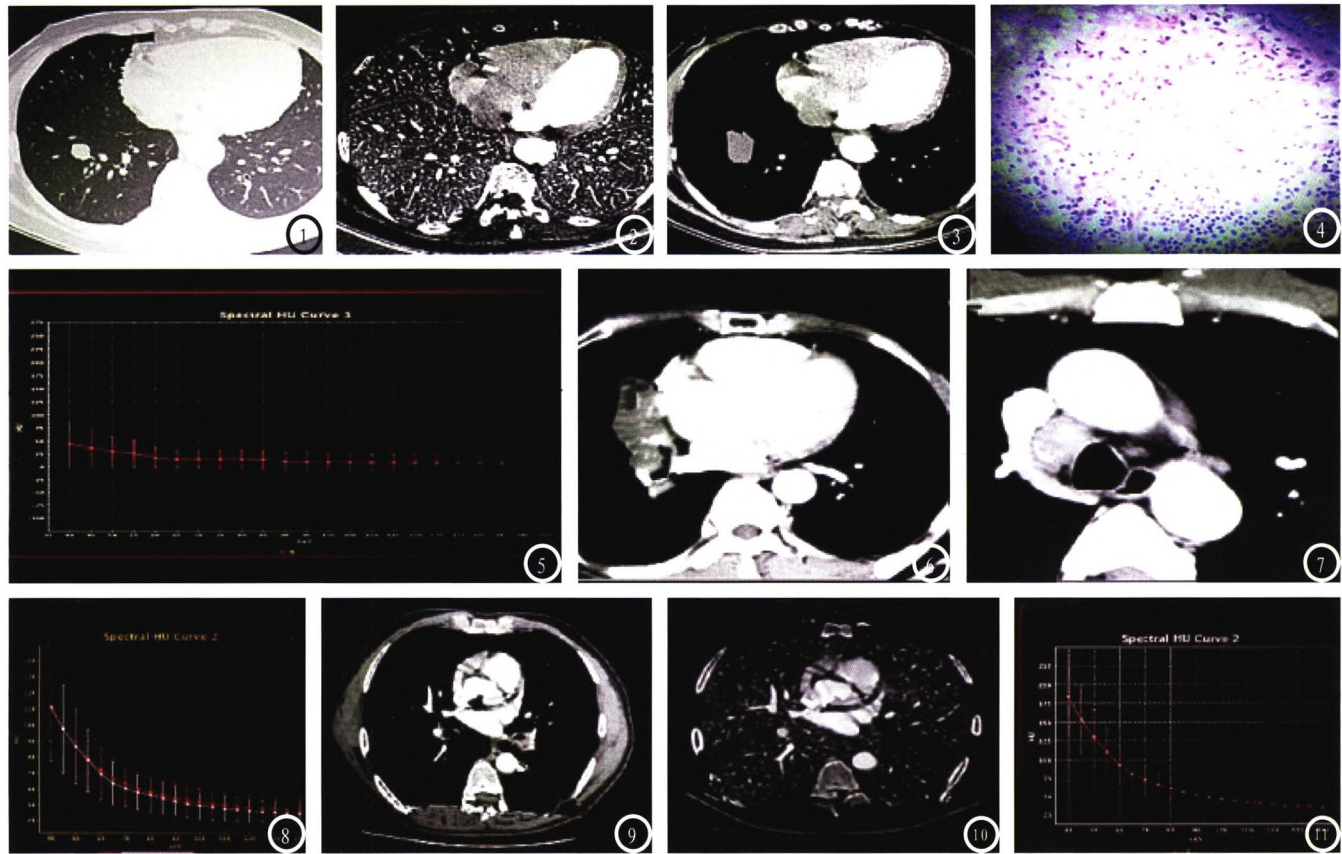


图1-5 良性占位组，患病部位为右肺下叶，图1-2：动脉期间70keV单能量图像；图3：碘基图像；图4：病理检查；图5：能谱衰减曲线。图6-11 恶性占位组，图6-8为细小肺泡癌，图6：动脉期间70keV单能量图像，图7：右肺中部肿块及转移淋巴结ROI，图8：能谱衰减曲线；图9-11为肺鳞状细胞癌，图9：动脉期间70keV单能量图像，图10：碘基图像，图11：能谱衰减曲线。

螺旋CT灌注成像与超声超微细血流成像在评估肝癌介入术后活性病灶血供中的应用比较

(图片正文见第86页)

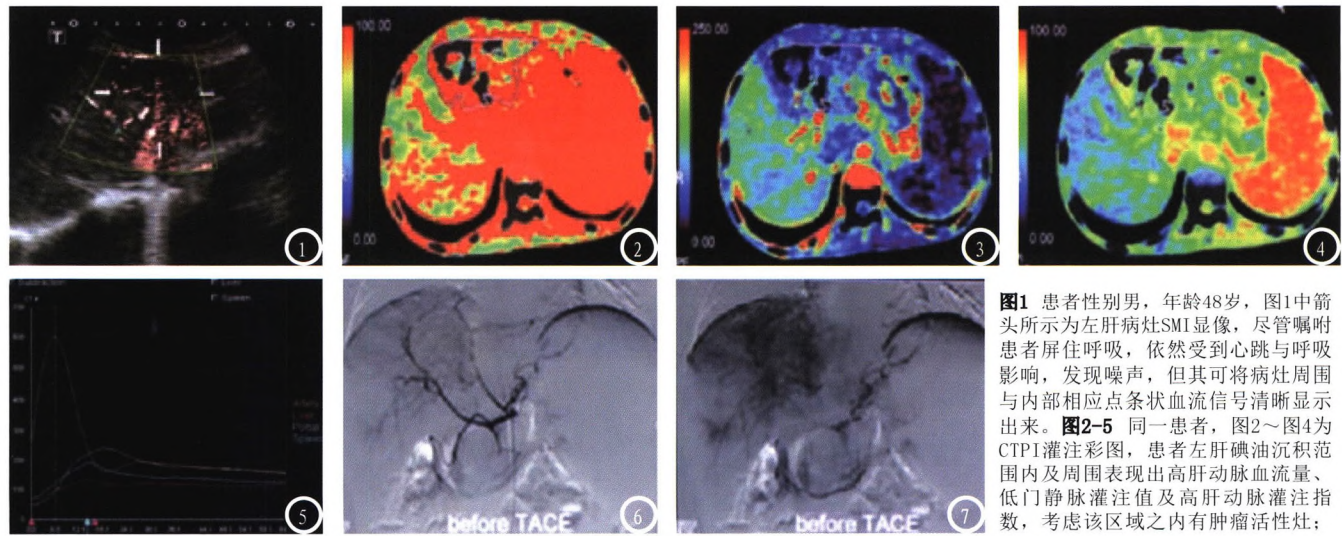


图5为活性灶TDC图，且为“速升速降”型。图6-7 同一患者，图6~图7为DSA图，显示不规则团片状活性病灶染色影，清晰呈现毛细血管期。

图1 患者性别男，年龄48岁，图1中箭头所示为左肝病灶SMI显像，尽管嘱咐患者屏住呼吸，依然受到心跳与呼吸影响，发现噪声，但其可将病灶周围与内部相应点条状血流信号清晰显示出来。图2~5 同一患者，图2~图4为CTP灌注彩图，患者左肝碘油沉积范围内及周围表现出高肝动脉血流量、低门静脉灌注值及高肝动脉灌注指数，考虑该区域之内有肿瘤活性；